文章编号: 1004-0609(2007)03-0396-06

Al-9.0Zn-2.5Mg-1.2Cu-0.12Sc-0.15Zr 合金的组织和性能

戴晓元^{1,2},夏长清²,孙振起²,华熳煜¹,吴 茵¹

- (1. 长沙理工大学 材料科学与工程学院,长沙 410076;
 - 2. 中南大学 材料科学与工程学院,长沙 410083)

摘 要:通过金相、扫描电镜、透射电镜和 X 射线衍射仪以及拉伸性能和电导率测试,研究 Al-9.0Zn-2.5Mg-1.2Cu-0.12Sc-0.15Zr 合金的组织性能。研究结果表明: 含 0.12% Sc 的 7 000 系铝合金铸态组织为 细小的等轴晶: 合金经强化固溶和 T6 处理后, 抗拉强度 σ_n 达 829.4 MPa, 伸长率 δ 为 5.7%; 合金经一般固溶及 RRA 处理后, σ_b 为 733.4 MPa, δ 为 5.4%,电导率为 37.6%。合金强化机理主要为 Al $_3$ (Sc, Zr)引起的细晶强化、 亚结构强化和沉淀强化。

关键词: 超高强铝合金; Sc; 显微组织; 力学性能; 电导率

中图分类号: TG 166.3 文献标识码: A

Microstructure and properties of Al-9.0Zn-2.5Mg-1.2Cu-0.12Sc-0.15Zr alloy

DAI Xiao-yuan^{1,2}, XIA Chang-qing², SUN Zhen-qi², HUA Man-yu¹, WU Yin¹

- (1. School of Materials Science and Engineering, Changsha University of Science and Technology, Changsha 410076, China;
- 2. School of Materials Science and Engineering, Central South University, Changsha 410083, China)

Abstract: The microstructure and properties of Al-9.0Zn-2.5Mg-1.2Cu-0.12Sc-0.15Zr alloy under different treatment conditions were investigated by using optical microscope(OM), scanning electron microscope (SEM), transmission electron microscope(TEM), X-ray diffractometry and measurements of tensile properties and electric conductivity. The results show that the as-cast microstructures of 7 000 series alloys with 0.12%Sc are equiaxed. After strengthening solution and T6 treatment, the tensile strength and elongation of studied alloy are 829.4 MPa and 5.7%, respectively. After solution and RRA, the tensile strength, elongation and electric conductivity of studied alloy are 733.4 MPa, 5.4% and 37.6%, respectively. The strengthening mechanisms are mainly sub-structure strengthening, precipitation strengthening and solution strengthening of Al₃(Sc, Zr).

Key words: ultra-high strength Al alloys; Sc; microstructure; mechanical property; electric conductivity

Al-Zn-Mg-Cu 系铝合金是应用最广泛的可热处理 强化的高强铝合金,是航空航天工业主要结构材料之 一。近年来,为了进一步提高合金性能,在该系合金 中添加微量 Zr, Er, Ce, Ag 和 Sc 等元素^[1-4]。其中 Sc 是迄今为止所发现的对优化铝合金性能最为有效 的合金元素[5-7], 在铝合金中添加微量 Sc 或同时添加 Sc 和 Zr 能产生多重强化作用:细化铸造组织,改善 合金工艺性能,提高合金加工及热处理后的强度[8-13]。 Yin 等^[8]认为在 Al-5Mg 合金中添加 0.2% Sc 和 0.1% Zr 后,热挤压态下合金的抗拉强度提高 138 MPa,屈服 强度提高 151 MPa, 而伸长率仍保持在 18%。在 Al-7.6Zn-2.1Mg-1.3Cu-0.15Zr 合金中添加 0.3% Sc, 经 固溶单级时效后,合金抗拉强度提高 65 MPa,屈服强度提高 67 MPa,而伸长率比未加 Sc 的基础合金的伸长率还高,达 $11.1\%^{[9]}$ 。目前,人们对含钪铝合金的研究主要集中在 Al-Mg,Al-Li-Mg,Al-Cu-Mg 和 Al-Zn-Mg 合金系^[8-13],对 Al-Zn-Mg-Cu-Sc-Zr 的研究较少。在此,本文作者对添加 0.12% Sc 后 Al-9.0Zn-2.5Mg-1.2Cu-0.12Sc-0.15Zr 合金显微组织与性能进行研究,以便开发性能优良的超高强铝合金。

1 实验

采用铸锭冶金法制备 Al-9.0Zn-2.5Mg-1.2Cu-0.12Sc-0.15Zr 合金,其化学分析成分为 Al-8.69Zn-2.45Mg-1.12Cu-0.12Sc-0.15Zr,经电阻炉熔炼后浇入 d50 mm 的铁模中。本实验所采用的原料为:工业高纯铝(99.96%,质量分数,下同),工业纯锌(99.8%),高纯镁(99.8%),Al-49.8%Cu 中间合金,Al-2.38%Sc 中间合金和 Mg-30%Zr 中间合金。铸锭经 450 $\mathbb C$ 和 24 h 均匀化,在 350~420 $\mathbb C$ 保温 2 h 后挤压成 d10 mm 棒材,再经固溶处理(455 $\mathbb C$ 、2 h)或强化固溶处理(455 $\mathbb C$ 、1 h+465 $\mathbb C$ 、1 h),然后进行时效处理。其时效处理制度为: T6,120 $\mathbb C$ 、22 h; T76,120 $\mathbb C$ 、8 h+160 $\mathbb C$ 、16 h; RRA,120 $\mathbb C$ 、22 h+180 $\mathbb C$ 、30 min+120 $\mathbb C$ 、22 h。将时效处理后的棒材加工成拉伸试样,拉伸试验在室温进行。

拉伸试验在 CSS-41100 万能电子拉伸机上进行, 拉伸速度为 2 mm/min。采用双臂电桥法测量合金电 阻,并计算电导率;用 PLOYVER-MET 光学显微镜 观察合金的显微组织。透射电镜样品经机械减薄后双 喷穿孔而成,电解液为 4%高氯酸酒精溶液,温度为 -25 ℃,显微组织观察在 H800 和 TecnaiG²20 透射电镜 上进行;高倍显微组织采用 JEOL-5600LV 型扫描电镜 观察,断口扫描采用 KYKY2800 型扫描电镜观察。

2 结果与分析

2.1 合金的力学性能

Al-9.0Zn-2.5Mg-1.2Cu-0.12Sc-0.15Zr 合金在不同 状态下的力学性能如表 1 所示。从表 1 可以看出:合 金在挤压态时抗拉强度最低,经强化固溶及 T6 处理 后抗拉强度最高,达到 829.4 MPa,伸长率为 5.7%。

2.2 Al-9.0Zn-2.5Mg-1.2Cu-0.12Sc-0.15Zr 合金的电 导率

添加 Sc 可以显著提高铝合金及其焊缝的抗腐蚀稳定性。应力腐蚀与电导率是紧密相关的,电导率越高,抗应力腐蚀性能越好,因此,常用电导率来间接反映材料的抗应力腐蚀性能。合金在不同热处理状态下的电导率如表 2 所示。从表 2 可以看出,在 T76 态时合金的电导率最高,合金的抗应力腐蚀能力最强。

合金中含 0.12%Sc, 在压力加工和淬火加热时弥散分布的 Al₃Sc 稳定相粒子阻碍晶界的迁移,使半成品的再结晶温度急剧上升,热处理后仍保持变形组织,即使发生再结晶,晶粒也十分细小。Sc 的加入能细化合金组织,并为沉淀相提供形核核心,使沉淀相的析出由晶界逐渐扩展到 $\alpha(Al)$ 基体,更加弥散均匀,减小了晶界与晶内的电极电位差,形成均匀腐蚀,提高了合金的耐蚀性能。此外,Sc 合金化有利于防止出现严重的晶界无沉淀现象,使 PFZ 宽度变窄。这主要是由于 Sc 可以稳定空位,降低溶质原子的扩散能力,无论是贫溶质机制还是贫空位机制,均可以降低由晶界到晶内的空位、溶质浓度梯度,使无沉淀区宽度减小,缩短电极电位差,提高合金的抗蚀性能。

2.3 合金的组织观察

图 1 所示为合金铸态微观组织。可以看出,合金的铸态组织为细小的等轴晶粒,在晶粒中间有细小的方块状、三角形状或多边形状的第二相粒子,该相粒子尺寸为 3~10 μm, 经 EDAX 能谱分析证实该第二相粒子为从合金熔体中析出的一次 Al₃(Sc, Zr) 粒子。

在非平衡凝固条件下,微量 Sc 和 Zr 在 Al-Zn-Mg-Cu 合金中,一部分固溶于基体 $\alpha(Al)$ 中,另一部分以一次 $Al_3(Sc, Zr)$ 质点的形式存在^[8-10, 12]。合金凝固时从熔体中析出的一次 $Al_3(Sc, Zr)$ 粒子熔点高,具有很强的热稳定性。Yin 等^[8-10, 12-13]指出, $Al_3(Sc, Zr)$

表 1 Al-9.0Zn-2.5Mg-1.2Cu-0.12Sc-0.15Zr 合金在不同热处理状态的拉伸性能

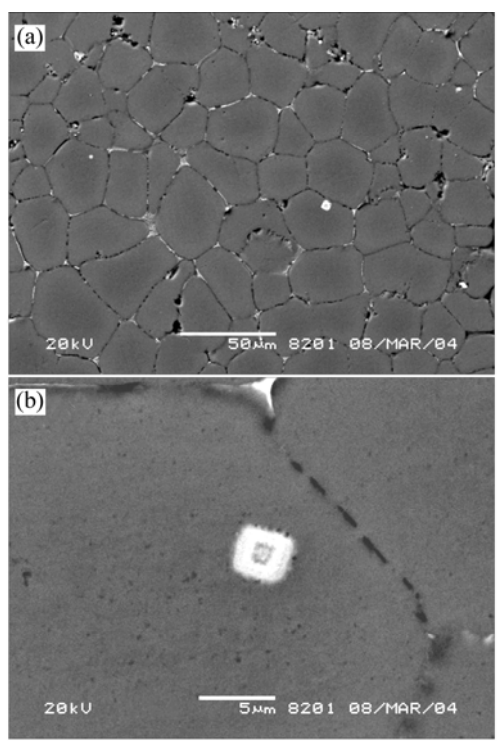
Table 1 Tensile properties of Al-9.0Zn-2.5Mg-1.2Cu-0.12Sc-0.15Zr alloy in different states

State	Extrusion	Solution	RRA	T76	Т6	Strengthening solution+T6
$\sigma_{\rm b}$ /MPa	446.0	630.9	733.4	535.9	763.7	829.4
δ/%	9.5	13.8	5.4	10.2	5.7	5.7

表 2 Al-9.0Zn-2.5Mg-1.2Cu-0.12Sc-0.15Zr 合金不同热处 理制度下的相对电导率

Table 2 Relative electric conductivities of Al-9.0Zn-2.5Mg-1.2Cu-0.12Sc-0.15Zr alloy at different conditions (%)

Extrusion	Solution	Т6	T76	RRA
32.1	25.7	33.6	41.2	37.6



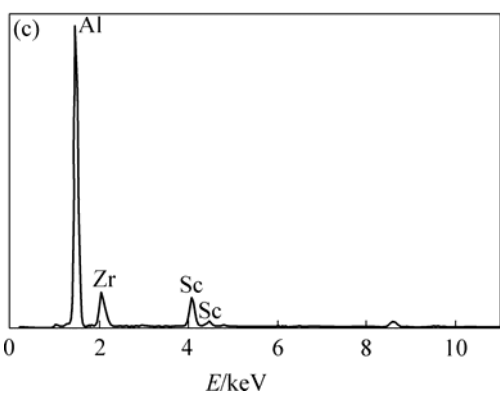


图 1 Al-9.0Zn-2.5Mg-1.2Cu-0.12Sc-0.15Zr 合金的 SEM 组织 **Fig.1** SEM images of Al-9.0Zn-2.5Mg-1.2Cu-0.12Sc-0.15Zr alloy: (a) and (b) As-cast of the studied alloy; (c) Composition analysis of square particles in (a) and (b)

Zr)质点为 AuCu₃ 型面心立方结构,是 Zr 替换 Al₃Sc 中的部分 Sc 而形成的,与 Al₃Sc 相比,其晶格常数更接近基体 α (Al)的晶格常数。Al₃Sc 与 α (Al)的错配度约为 1.5%,Zr 置换 Al₃Sc 中 Sc 后,使得 Al₃(Sc,Zr)与基体的错配度更小,晶格常数的差异率降低,非均匀形核效率增高。一次 Al₃(Sc,Zr)粒子是 α (Al)固溶体

结晶时理想的非均质晶核,能细化含铝合金铸态组织。 Al₃(Sc, Zr)粒子呈现出正方形、长方形和三角形等不 同形状,是金相磨面与非均质晶核交截的结果。若非 均晶核刚好处在磨面上,则依据其与磨面的交截部位 不同而呈现不同的形状。

图 2 所示为合金 T6 和 RRA 态组织。可见,合金 经挤压热处理后仍为纤维状变形组织。钪在铝合金中 的固溶体很不稳定, 在加热到 250 ℃以及更高温度时 迅速分解。Yin 等^[8-9, 12, 14-16]认为,含 Sc、Zr 铝合金 在加热或热加工过程中会从基体中析出细小弥散分布 的二次 Al₃(Sc, Zr)粒子, 该粒子为 Ll₂型, 与 α(Al) 基体共格,与母相之间有着极小的共格错配度,共格 应变能和界面能极小, 热稳定性较高。Al₃(Sc, Zr)对 位错及亚晶界、晶界具有极强烈的钉扎作用,可以稳 定变形组织的亚结构, 阻碍位错重新排列成亚晶界及 随后发展成大角度晶界的过程, 从而阻碍再结晶晶粒 的形核和长大。铝合金的再结晶起始温度一般在 300 ℃左右。而 Sc 和 Zr 复合微合金化能显著提高合 金的再结晶温度。图 2 表明, 合金在 T6 和 RRA 热处 理状态仍保持变形加工组织, 未发生再结晶。这是因 为在合金均匀化处理过程中, 大量析出细小、均匀、 弥散、呈豆瓣状且与基体共格的二次 Al₃(Sc, Zr)相粒 子,共



图 2 Al-9.0Zn-2.5Mg-1.2Cu-0.12Sc-0.15Zr 合金的金相组织 (OM)

Fig.2 Microstructures of Al-9.0Zn-2.5Mg-1.2Cu-0.12Sc-

0.15Zr alloy (OM): (a) T6; (b) RRA 格第二相的存在会明显地阻滞再结晶的进行^[8, 12, 15]。

图 3 所示为合金不同状态的断口形貌。其中,图 3(a)所示为合金挤压态,有少量韧窝;图 3(b)所示为合金 T76 状态的断口形貌,韧窝较多, 并且大韧窝内还有很多小韧窝,部分韧窝内还有颗粒状质点,说明合金的断裂属于延性韧断,合金的塑性较好;图 3(c) 所示为合金 T6 状态的断口形貌,韧窝较少,合金的断裂属于混合型韧断,伸长率低。其中,A、B、C表示拉伸断口的粒子所处位置。

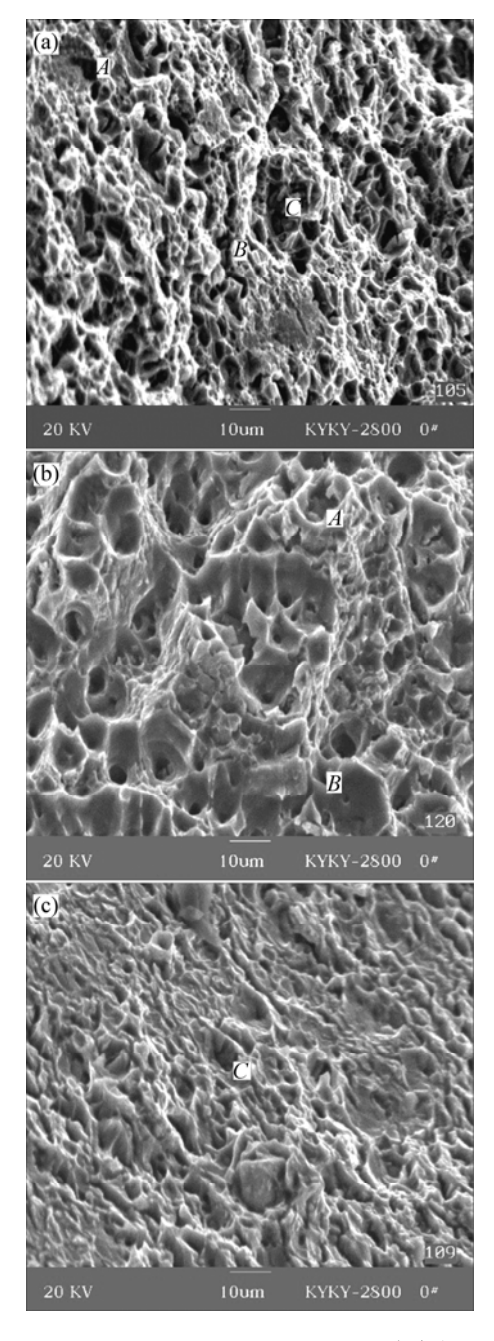


图 3 Al-9.0Zn-2.5Mg-1.2Cu-0.12Sc-0.15Zr 合金断口形貌 Fig.3 Morphologies fracture surface of Al-9.0Zn-2.5Mg-

1.2Cu-0.12Sc- 0.15Zr alloy: (a) Extrusion; (b) T76; (c) T6

表3所示为断口处粒子能谱分析结果,可见,晶间、晶内块状粒子为高锌或高铁粒子,这些第二相粒子可降低合金伸长率和断裂韧性。由于杂质颗粒分布在晶粒内部或者晶界上,在塑性变形时,在颗粒与基体的边界上会塞积许多位错,从而产生应力集中,当应力达到一定程度时,在部分颗粒-基体边界上产生孔隙,导致出现微细裂纹,成为宏观裂纹的发源地。随着应力增加,这些微细裂纹不断长大,裂纹尖端应力不断增加,当裂纹尖端附近区域内的应力超过材料的断裂强度时,基体发生局部断裂,促使宏观裂纹过早地发展。

图 4 所示为合金透射显微组织的微观组织。从图 4(a)可以看出,合金经挤压后,部分位错通过滑移和 攀移排成与滑移面正交的亚晶界。这些小角度亚晶界 被大量与基体共格的呈蹄印状的粒子所包围和钉 扎,难以迁移。图 4(a)中左上角小图所示为图中程蹄 印状粒子的 EDP 衍射谱。由图可见,该粒子与基体共 格,为二次Al₃(Sc, Zr)相粒子,对位错和晶界具有强 烈的钉扎作用。图 4(b)和(c)所示为合金 T6 态下的 TEM 图片组织。从图 4(b)可以看到, 合金晶内是均匀细密 分布的析出相,根据合金的时效状态和文献[2-3,17-18], 可以认为该析出相为 η'。从图 4(c)可以看到一些豆瓣 状的析出相,部分析出相还与位错线缠结在一起,与 基体共格。Miura 等[7,11-12]认为该豆瓣状析出相为二次 Al₃(Sc, Zr)粒子,是合金均匀化处理时从基体中析出 的,为面心立方晶体结构,其晶格常数与基体 $\alpha(Al)$ 的相近[7]。

图 5 所示为合金挤压态、固溶态、T76 和 T6 的 X 射线衍射谱。可以看出,在合金的挤压组织中,合金的相组成为 $\alpha+\eta+T$; 固溶处理后,合金的相组成为 $\alpha+T$, 基本没有 η 相,说明 η 相已经溶入基体中; T76 状态下合金的相组成为 $\alpha+\eta$,说明合金已经发生过时效; 经 T6 热处理后,其组成相为 $\alpha+\eta+\eta'$,说明合金有 η' 和 η 析出。

Al-Zn-Mg-Cu 合金中的主要强化相为 η' , 其沉淀 顺序大致相同: SSSS(过饱和固溶体)→GP 区 $\to \eta'$ (MgZn₂过渡相) $\to \eta$ (MgZn₂平衡相)。在 Al-Zn-Mg-Cu-Zr 合金中添加微量 Sc, 可以提高 Zn 和 Mg 在 α (Al) 固溶体中的溶解度^[19–20], 增大合金由 GP 区向 η' 相转变的相变驱动力。

含 Sc 铝合金强度的增加是由 Al₃(Sc, Zr)粒子引起的, 其原因是:

1) 该粒子与基体完全共格,会在二者间产生方向相反、大小相等的共格力,由于在 Al₃(Sc, Zr)粒子的

基体周围存在共格能,因而产生共格强化;

表 3 断口粒子能谱分析

Table 3 EDS results particles in fracture surface (mole fraction, %)

State	Location	Zn	Mg	Cu	Sc	Zr	Fe	Al
Extrusion	A	17.15	4.79	2.58	1.68	_	3.22	70.58
	B	17.02	10.23	2.16	0.20	0.15	_	70.24
	C	7.40	_	3.15	5.15	_	8.73	75.56
T76	A	2.88	_	1.89	_	_	9.39	85.84
RRA	C	4.16	17.92	0.57	7.39	0.70	-9.81	59.44

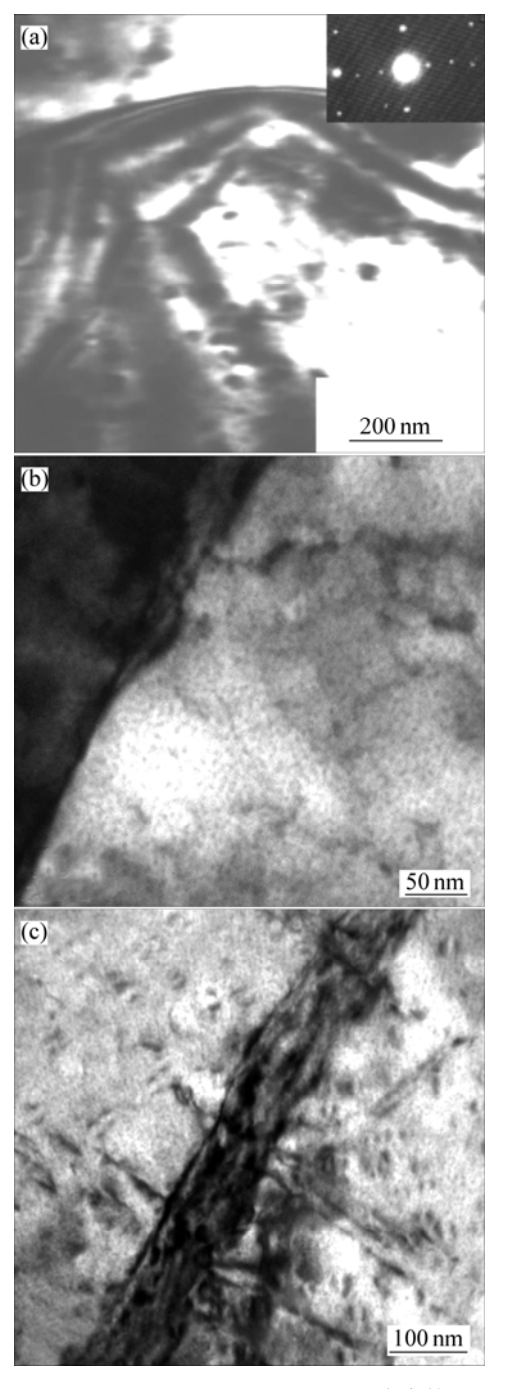


图 4 Al-9.0Zn-2.5Mg-1.2Cu-0.12Sc-0.15Zr 合金的 TEM 组织 **Fig.4** TEM microstructures of Al-9.0Zn-2.5Mg-1.2Cu-0.12Sc-0.15Zr alloy(TEM): (a) Extruded; (b), (c) T6

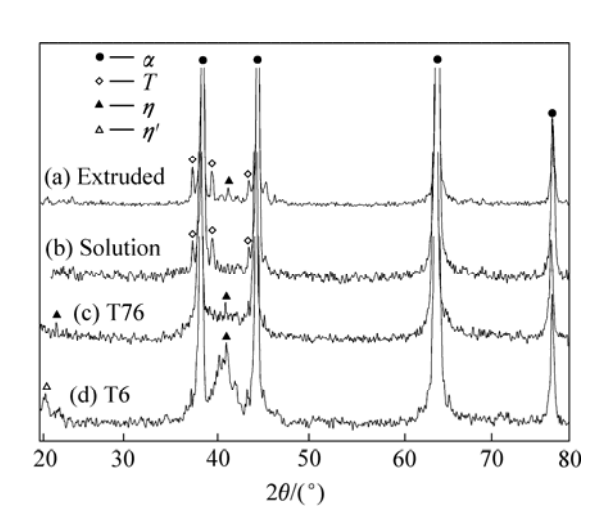


图 5 Al-9.0Zn-2.5Mg-1.2Cu-0.12Sc-0.15Zr 合金的 XRD 谱 Fig.5 XRD patterns of Al-9.0Zn-2.5Mg-1.2Cu-0.12Sc-0.15Zr alloy

- 2) Al₃(Sc, Zr)粒子的显微硬度高达 2 250 MPa^[15], 二次析出的 Al₃(Sc, Zr)对合金产生直接析出强化作 用^[7-8,11]:
- 3) 二次 Al₃(Sc, Zr)粒子较小,约为 10 nm(见图 4(c)), Orowan 强化机制起作用,因此,细小的 Al₃(Sc, Zr)沉淀析出相将产生一个很大的阻碍位错运动^[21]和 亚晶界迁移的力,提高合金的再结晶温度,甚至使合金保持加工状态的纤维组织结构,产生亚结构强化。 另外,在合金凝固过程中析出的一次 Al₃(Sc, Zr)粒子细化了合金的铸态组织,也使合金得到细晶强化。

3 结论

1) 合金在 T6 热处理态,室温抗拉强度 σ_b 为 763.7 MPa,伸长率 δ 为 5.7%,其强化相为 η' 、 η 和 Al₃(Sc, Zr)粒子。合金经 RRA 处理后,合金的 σ_b 为 733.4MPa, δ 为 5.4%,电导率为 37.6%,具有较好的综合性能。这是因为添加微量 Sc 引起的细晶强化、亚结构强化以及沉淀强化。

2) 合金经强化固溶和 T6 热处理后, 抗拉强度高达 829.4 MPa, 伸长率为 5.7%。这说明采用强化固溶处理可提高合金的强度, 而伸长率与 T6 态的相同。

REFERENCES

- [1] 贺永东,张新明. 微量 Cr、Mn、Ti 和 Zr 细化 7A55 铝合金铸锭组织的效果与机理[J]. 中国有色金属学报,2005,15(10):1594-1601.
 - HE Yong-dong, ZHANG Xin-ming. Refinement mechanism of trace Cr, Mn, Ti and Zr as cast 7A55 alloys[J]. The Chinese Journal Nonferrous Metals, 2005, 15(10): 1594–1601.
- [2] 赵中魁,周铁涛,刘培英,陈昌麒. Al-Zn-Mg-Cu-Li-Er 合金时效组织中 Er 相的 TEM 观察[J]. 稀有金属材料与工程,2004,33(10): 1108-1111.
 - ZHAO Zhong-kui, ZHOU Tie-tao, LIU Pei-ying, CHEN Chang-qi. Observation of formed Er phase in Al-Zn-Mg-Cu-Li alloys by TEM[J]. Rare Metal Materials and Engineering, 2004, 33(10): 1108–1111.
- [3] 张 坤, 刘志义, 冯 春. 添加微量 Ag 对高 Zn 超高强铝合金微观组织和力学性能的影响[J]. 中国有色金属学报, 2005, 15(1): 116-122.
 - ZHANG Kun, LIU Zhi-yi, FENG Chun. Effect of small addition of silver on microstructure and mechanical properties of high-zinc super-high strength aluminum alloy[J]. The Chinese Journal Nonferrous Metals, 2005, 15(10): 116–122.
- [4] 杨守杰,谢优华,陆 政,等. Zr 对超高强铝合金时效过程的影响[J],中国有色金属学报,2002,12(2):226-230. YANG Shou-jie, XIE You-hua, LU Zhen, et al. Influence of zirconium on ageing process in super-high strength aluminum alloy [J]. The Chinese Journal Nonferrous Metals, 2002, 12(2): 226-230.
- [5] Fiatov Y A, Yelagin V I, Zakharov V V. New Al-Mg-Sc alloys[J]. Materials Science and Engineering, 2000, A280: 97–101.
- [6] Norman A F, Hyde K. Examination of the effect of Sc on 2000 and 7000 series aluminiun alloy castings: for improvements in fusion welding[J]. Materials Science and Engineering, 2003, A354: 188–198.
- [7] Miura Y, Shioyama T, Hare D. Recrystallization of Al-3Mg and Al-3Mg-0.2Sc alloys[J]. Mater Science Forum, 1996(217-222): 505-510
- [8] YIN Zhi-min, PAN Qing-lin, ZHANG Yong-hong, et al. Effect of minor Sc and Zr on the microstructure and mechanical properties of Al-Mg based alloys[J]. Materials Science and Engineering, 2000, A280: 151–155.
- [9] 戴晓元,夏长清,刘昌斌. 加钪对 Al-Zn-Mg-Cu-Zr 合金组织性能的影响,稀有金属材料及工程,2006, 35(6): 913-915. DAI Xiao-yuan, XIA Chang-qing, LIU Chang-bin. Effect of Sc addition on microstructures and mechanical properties of Al-Zn-Mg-Cu-Zr alloys[J]. Rare Metal Materials and Engineering, 2006, 35(6): 913-915.
- [10] Kendig K L, Miracle D B. Strengthening mechanisms of Al-Mg-Sc-Zr alloy[J]. Acta Materialia, 2002, 50: 4165–4175.

- [11] Dvydov V G, Rostova T D, Zakharov V V, et al. Scientific principles of making an alloying addition of scandium to aluminum alloys[J]. Materials Science and Engineering, 2000, A280: 30–36.
- [12] Ocenasek V, Slamova M. Resistance to recrystallization due to Sc and Zr addition to Al-Mg alloys[J]. Materials Characterization, 2001, 47: 157–162.
- [13] 贺永东,张新明,陈健美,等. 微量 Sc 和 Zr 对 7A55 合金铸锭组织的细化机理[J]. 中南大学学报: 自然科学版,2005,36(6):919-923.
 - HE Yong-dong, ZHANG Xin-ming, CHEN Jian-mei, et al. Refinement mechanism of trace Sc and Zr as-cast 7A55 alloys[J]. Journal of Central South University: Science and Technology, 2005, 36(6): 919—923.
- [14] XIA Chang-qin, ZENG Fan-hao, GU Yi. Phase relations of Al-4Mg-Sc-Zr quaternary system in Al-rich rang at 430°C[J]. Transactions of Nonferrous Metals Society of China, 2003,13(3): 546-552.
- [15] 王 月. 含钪铝合金的研究进展[J]. 上海金属, 2003, 25(1): 36-39.
 WANG Yue. The research progress of aluminium containing scadium[J]. Shanghai Metals, 2003, 25(1): 36-39.
- [16] Royset J, Ryum N. Scandium in aluminium alloys[J]. International Materials Reviews, 2005, 50(1): 19–44.
- [17] 陈康华,刘允中,刘红卫. 7075 和 2024 铝合金的固溶组织与力学性能[J]. 中国有色金属学报, 2000, 10(6): 819-822. CHEN Kang-hua, LIU Yun-zhong, LIU Hong-wei. Microstructure and mechanical properties of enhanced solution treated 7075 and 2024 aluminum alloys[J]. The Chinese Journal Nonferrous Metals, 2000, 10(6): 819-822.
- [18] 张 坤, 刘志义,郑青春,等. 高 Zn 超高强铝合金的回归再时效处理[J]. 中南大学学报: 自然科学版, 2005, 36(2): 188-192.

 ZHANG Kun, LIU Zhi-yi, ZHENG Qing-chun, et al. Effects of different retrogression and reaging heat treatment on high-zinc super-high aluminum alloy[J]. Journal of Central South
- [19] Costello F A, Robson J D, Prangnell P B. The effect of small Scandium additions to AA7050 on the as-cast and homogenized microstructure[J]. Mater Science Forum, 2002, 396–402: 757–762.

University: Science and Technology, 2005, 36(2): 188-192.

- [20] 何运斌,潘青林,刘元斐,等. Sc 和 Zr 复合微合金化对 Al-Zn-Mg-Cu 合金组织与性能的影响[J]. 轻合金加工技术, 2005, 33(9): 41-43.

 HE Yun-bin, PAN Qing-lin, LIU Yuan-fei, et al. Effects of Minor Scandium and Zirconium on Microstructure and Tensile Properties of Al-Zn-Mg-Cu Alloys[J]. Light Alloy Fabrication Technology, 2005, 33(9): 41-43.
- [21] YU Kun, LI Wen-xian, LI Song-rui, et al. Mechanical properties and microstructure of aluminum alloy 2618 with Al₃(Sc, Zr) phases[J]. Materials Science and Engineering A, 2004, 368: 88–93

(编辑 陈灿华)